土砂移動が活発な常願寺川における流水・流砂の連続的な把握と流域監視に繋がる土砂流出解析

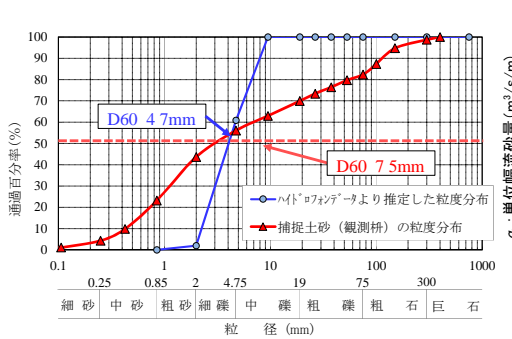
北陸地方整備局 立山砂防事務所 大坂 剛,金子 秀樹,高橋 至,寺崎 賢一 長山 孝彦,松田 悟,○古谷 智彦,水谷 佑,伊藤 隆郭 日本工営(株) 政策研究大学院大学 水山 高久 京都大学大学院防災研究所 藤田 正治

1. 緒論: 山地河川における出水・流砂の連続的な計測 法の試み¹⁾が行われ,流水と流砂の不連続性や浮遊砂を 除いた掃流砂やウォッシュロード(以下 W.L.と示す)と水理量 との関係が明らかになってきた. 常願寺川本川と支川 (称名川, 湯川, 真川)を対象とし, 掃流砂と W. L. の観測 法を固定して, 水理・水文量に対する流砂の応答を評価 してきた²⁾.また、津之浦下流砂防堰堤を対象とした浮 遊砂流の計測法の試み3),4)を通じ、流砂形態ごとの粒径 別流砂量の把握を試みている.一方,平時から中小規模 の降雨を対象として,流域スケールでの流れと粒径別流砂量 の把握に関するツール5),6)を用いて、ある程度実用的なレベ ルに達してきた.これらの試行結果を示す.

2. 流砂量のモニタリング

- **2.1 時系列データ**: 2017 年 7 月 1 日に発生した出水時の, 妙寿砂防堰堤,空谷砂防堰堤,津之浦下流砂防堰堤,称 名 20 号床固工, 本宮砂防堰堤における観測データ (水位・ ハイドロフォンのパルス数)及び,津之浦下流砂防堰堤において 推定した掃流砂量を図-1に示す. また, ハイドロフォン観測 データから推定した粒度分布(図-2,後述)より,粒径階別 の掃流砂量を求めた. 掃流砂量は、図-3 に示すキャリブレーシ ョン式を用いて算定した.なお,2015年度には継続的な掃 流砂観測の試みとして、ロバスト型ハイドロフォン(肉厚型)を津 之浦下流砂防堰堤に設置している. 肉厚型ハイドロフォンに関 しても,標準型(3mm厚)と同様に出水時の観測データから キャリブレーション式を作成した(図-4). また, 図-1(a~c)に 示す掃流砂量計のデータを見ると,津之浦下流砂防堰堤の ハイドロフォンが飽和域に達していることが分かる.
- 2.2 粒度分布: ハイドロフォン音響データルは衝突する礫の運動 量と相関関係にあることを利用し, 出水中の粒度分布を 求め, 同時間帯における観測枡 (津之浦下流砂防堰堤) の捕捉土砂の粒度分布と比較した(図-2).これによると Dm 付近の推定値は、捕捉土砂と類似する結果が得られ
- **2.3W.L.と掃流砂**: 本宮で観測された出水ピーク時の流 量と浮遊砂量(細粒成分)及び掃流砂量の関係を図-5~8 に示す. 図-5 より, 2017 年における流量に対する細粒 成分の応答は過年度の出水の中でも流砂量が大きい範 囲にある。また、図-7では出水データと比較するため、 平衡流砂量式(本宮における D_{60} =30mm) を記載している. これによると、平衡流砂量式から予想される流砂量に

比べ、本宮では掃流砂量は少ない.



掃流砂の粒度分布の推定 図-2 (2017年7月1日出水)

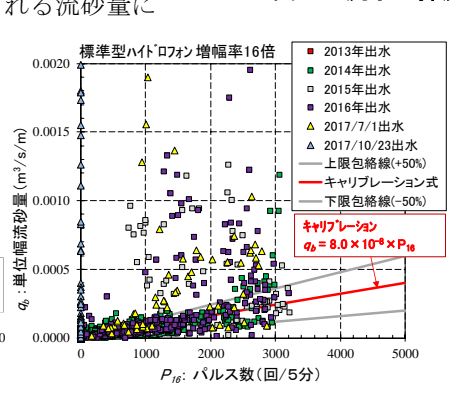
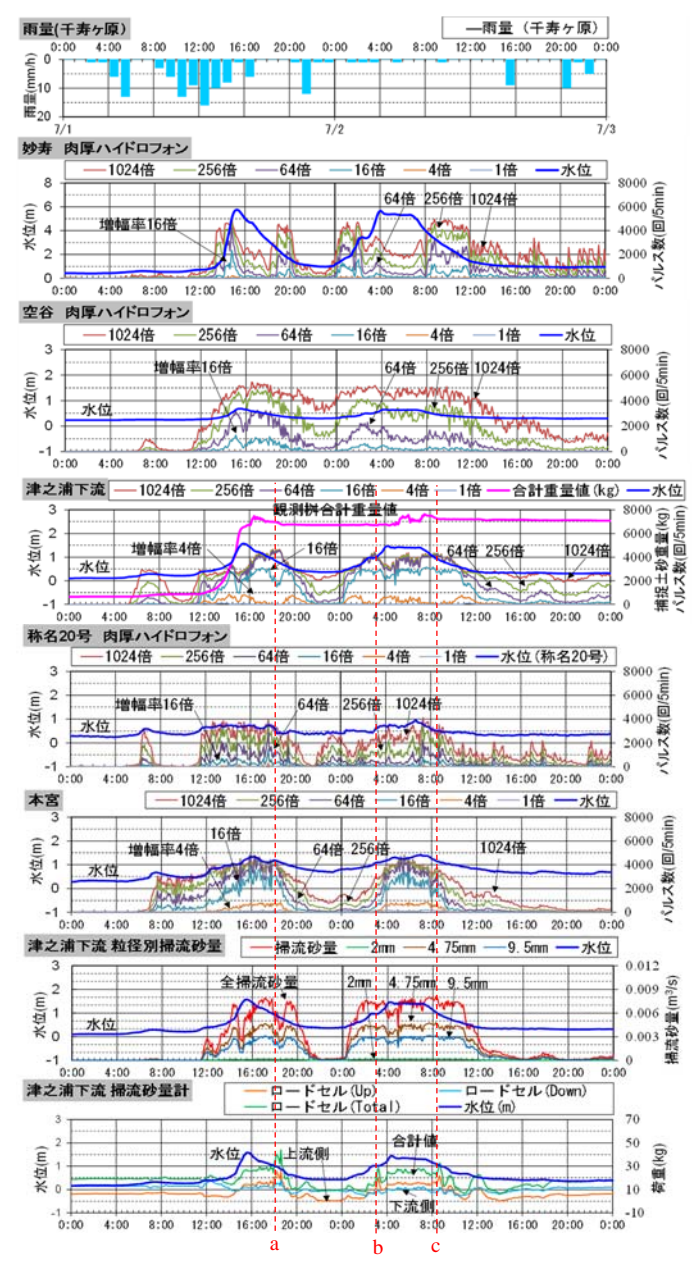
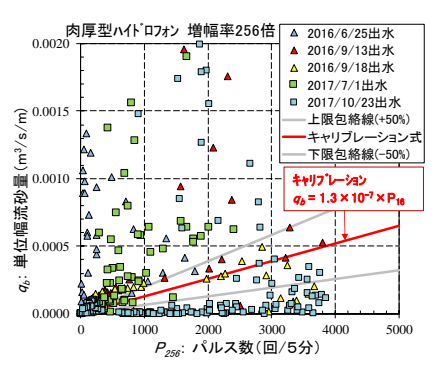


図-3 ハイト・ロフォンハ・ルス数と 単位幅掃流砂量の相関 (津之浦下流砂防堰堤)



流水・掃流砂観測の例(2017年7月1日)



肉厚型ハイドロフォンを用いた 掃流砂量算定の試る (津之浦下流砂防堰堤)

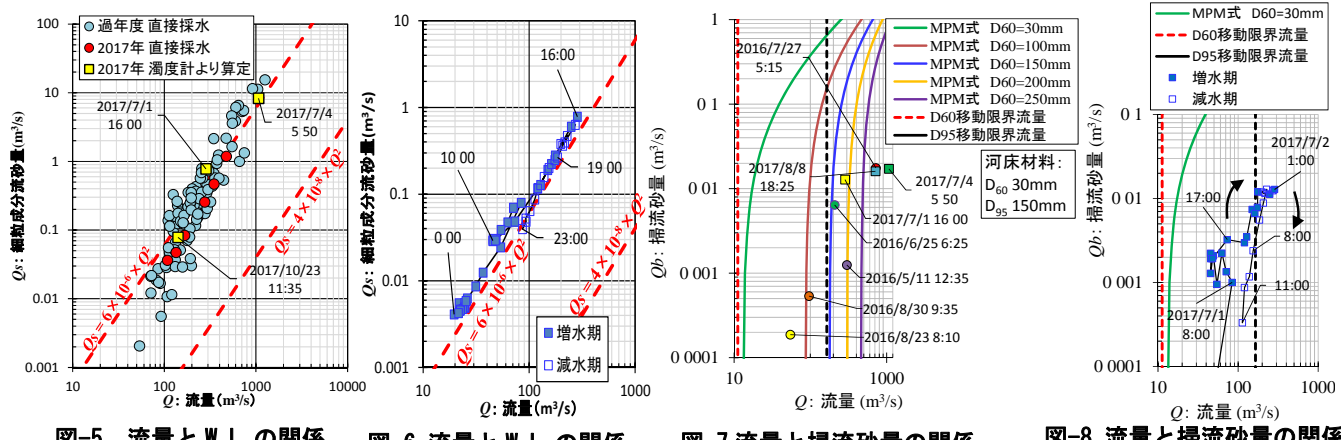


図-5 流量とW.L.の関係 (本宮砂防堰堤) (出水ピーク時データ抜粋) 図-6 流量と W.L.の関係 (本宮砂防堰堤) (2017/7/1 出水時) 図-7 流量と掃流砂量の関係 (本宮砂防堰堤) (出水ピーク時データ抜粋) 図-8 流量と掃流砂量の関係 (本宮砂防堰堤) (2017/7/1 出水時)

平衡流砂量式を用いて、 D_{60} 粒径を逆算した結果、粒径が 10 倍程度の大きさになった.これは、現河床における流砂の活性度が低いことを示す。観測データから、全期間の掃流砂、浮遊砂(細粒成分)の流砂量を整理した($\mathbf{表}$ - $\mathbf{1}$ 左).

3. 単位河道モデルを用いた流出解析:中小規模の土砂流出に対して,江頭・松木の単位河道・単位斜面モデル⁵を基礎とする,数値計算モデル⁶を用いた流出解析を昨年度より実施している⁷. 以下では,今年度での検討の際の条件変更箇所を示す.

【対象流域】本宮砂防堰堤地点における集水域(201km²)(図-9)

【降雨】2006年8月1日~2016年7月31日(千寿ケ原)

【供給土砂】流域内土砂生産源における土砂粒度分布 (D_{60} =3.3mm, D_{90} =43.1mm) 【計算方法】2006 年~2016 年の 10 年分の降雨を 4 回繰り返し流域に与えた.1 年

ごとに流出土砂量を合計し、同量を次年度の供給土砂量として与えた

4. 結論: 常願寺川での流水・流砂情報の縦断的な連続観測や集中的なデーク収集シス テムの構築が進み,流砂観測による流域監視が可能となってきた. また,浮遊砂や流域全体の粒径別流砂量の把握のために,平水から中小規模の降雨に対して,単位河道モデルにより降雨に対する流砂の応答を再現し,観測データを補完するようなシステムを展開している. 幾つか解決すべき課題もあるが,流域内の土砂動態の把握と総合土砂管理への方向性を,更に検討する予定である.

謝辞: 単位河道モデルによる解析においては,京大藤田研の諸兄の助力を得た,記して感謝いたします.

参考文献: 1) 堤大三ら:京大防 災研年報, 51 号 B, 661-668, 2008, 2) 酒谷幸彦ら:平成 22 年度砂防学会研究発表概要集 (以下,概要集), 494-495, 2010, 3) 田井中治ら:平成 23 年度概 要集, 528-529, 2011, 4) 三上 幸三ら:平成 24 年度概要集, p510-511, 2012, 5) 江頭進治 ら:水工学論文集, 44, 735-740, 2000, 6) 山野井 一輝ら:土木 学会論文集 B1(水工学), Vol. 70, No. 4, I_925-I_930, 2014, 7) 古 谷ら:平成 29 年度概要集, p6-7, 2017.



図-9 単位河道・斜面と 土砂生産条件

表-1 月別の流砂量観測結果(左) 及び数値計算結果の比較(右) (本宮砂防堰堤)

計算結果(m³)	
浮遊成分	
4 913	
6 105	
7 71	
2 236	
1 131	
5 20,857	
2 150	
1 5,145	
3 358	
3 842	
3 154	
9 372	
0 67	
0 137	
9 311	
2 13,890	
6 2,127	
6 973	
2 1,168	
6 2,392	
6 261	
1 228	
0 30	
5 184	
7 233	
2 149	
6 8,256	
$\overline{}$	

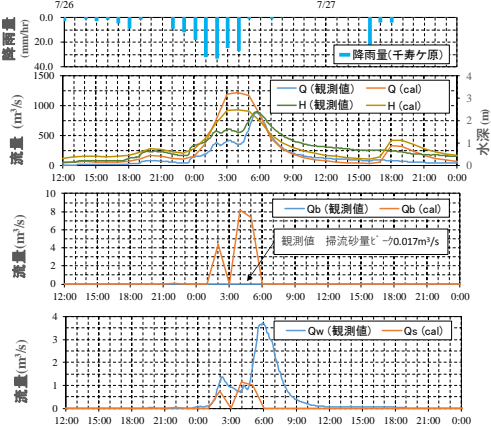


図-10 計算結果と観測値の比較 (2016年7月26日出水)